

УДК 561.46

С.Ю.Михайличенко, В.В.Фомин

Морской гидрофизический институт НАН Украины, г.Севастополь

**ЧИСЛЕННОЕ МОДЕЛИРОВАНИЕ ВЕТРОВОГО ВОЛНЕНИЯ
В РАЙОНЕ ОСТРОВА КОСА ТУЗЛА
С ИСПОЛЬЗОВАНИЕМ МЕТОДА ВЛОЖЕННЫХ СЕТОК**

На основе модели *SWAN* методом вложенных сеток рассчитаны волновые характеристики в районе о.Коса Тузла для различных типов стационарных полей ветра. Подробно изучены особенности полей высот, направлений, периодов и длин волн. Проведен анализ влияния берегозащитных сооружений на структуру волновых полей у восточной оконечности острова.

В связи с необходимостью проведения работ по защите побережья о.Коса Тузла (ОКТ) от разрушительного влияния штормов возникает потребность в детальном исследовании волнового режима для данного региона. В Морском гидрофизическом институте НАН Украины подобные работы уже выполнялись [1, 2], однако в них при расчете волнения граничные условия на жидких границах реализовывались приближенно и, более того, применялась сетка с горизонтальным разрешением 200 м, что не позволяет детально описывать поля волнения непосредственно вблизи ОКТ.

Настоящее исследование является развитием указанных работ. Для расчета ветрового волнения используется 4-х шаговый метод вложенных сеток, включающий: расчет ветрового волнения для всего Азово-Черноморского бассейна; расчет волнения для Азовского моря, Керченского пролива и северо-восточного шельфа Черного моря с жидкой южной границей; моделирование волнения для Керченского пролива с двумя жидкими зональными границами; моделирование волнения для области с четырьмя жидкими границами, которая включает ОКТ. Численные эксперименты выполнены для 3-х градаций скорости однородного по пространству и постоянного по времени ветра: $W = 15$ м/с – слабый шторм, $W = 25$ м/с – сильный шторм, $W = 35$ м/с – экстремальный шторм. Рассматривались ветры южных румбов, поскольку именно они способствуют проникновению в Керченский пролив интенсивного волнения из открытой части Черного моря. Как и в [1, 2], расчеты волнения проводились на основе спектральной модели *SWAN* (*Simulating Waves Near Shore*) [3, 4], которая базируется на численном решении уравнения баланса волновой энергии, что дает возможность получить оценки ряда спектральных характеристик волнения, в частности, высоту значительных волн, среднее направление распространения волнения и средний период волн.

Результаты численных экспериментов. В первом цикле экспериментов определялись наиболее штормоопасные направления ветра. Всего было выполнено 15 численных экспериментов по расчету ветрового волнения в Азово-Черноморском бассейне для разных направлений ветра, в результате которых были получены значения максимальных высот волн на южной границе

© С.Ю.Михайличенко, В.В.Фомин, 2008

северо-восточного шельфа Черного моря. Было установлено, что при всех W максимумы высот значительных волн на указанной границе соответствуют юго-восточному, юго-юго-восточному и юго-западному направлениям ветра, что связано, в первую очередь, с величинами эффективных разгонов, которые максимальны для вышеперечисленных румбов. Учитывая данную особенность, дальнейшие расчеты волновых полей в Керченском проливе на более мелких сетках проводились только для 3-х указанных направлений ветра.

Опишем реализацию метода вложенных сеток для расчета волнения в районе ОКТ. На начальном шаге определялись поля волнения для всего Азово-Черноморского бассейна. Моделирование проводилось на сетке с разрешением 4780 м по широте и 4690 м по долготе в области $\sim 27,47 - 41,84^\circ$ в.д. и $40,91 - 47,13^\circ$ с.ш. с угловым разрешением 10° . По частотной координате использовалась сетка с 25 узлами, покрывающая частотный интервал $0,05 - 1$ Гц.

На следующем шаге проводился расчет полей волнения для Азовского моря, Керченского пролива и северо-восточного шельфа Черного моря с жидкой южной зональной границей, расположенной на широте Ялты. Границные условия определялись путем интерполяции результатов моделирования с начального шага. Использовалась сетка с разрешением 1000 м в области $33,71 - 39,72^\circ$ в.д. и $44,5 - 48,0^\circ$ с.ш. Остальные параметры сетки, как на этом, так и на последующих шагах оставались такими же, как на начальном шаге.

Далее выполнялось моделирование ветровых волн в Керченском проливе на сетке с шагом 200 м. Параметры волн на южной и северной зональных границах определялись с предыдущего шага.

После этого проводились расчеты волновых характеристик для прямоугольной области с разрешением 40 м, включающей ОКТ. Координаты области: $36,19 - 36,32^\circ$ в.д. и $45,21 - 45,31^\circ$ с.ш.

Данные последнего шага использовались для моделирования ветрового волнения у восточной оконечности ОКТ. Расчет велся на сетке с горизонтальным шагом 10 м в области: $36,25 - 36,30^\circ$ в.д. и $45,24 - 45,27^\circ$ с.ш. Донное трение в *SWAN* определялось по модели Гранта-Мадсена с коэффициентом шероховатости донной поверхности, равным 0,1 м. Также учитывался эффект обрушения волн на критических глубинах.

Было проведено 9 численных экспериментов (для 3-х градаций скорости и 3-х направлений ветра). Изучались особенности полей высот, направлений, периодов и длин волн. Попутно рассматривалась задача влияния берегозащитных сооружений (волноломов) у восточной оконечности ОКТ (проектируемых ГП «Государственным проектно-изыскательским институтом морского транспорта») на структуру волнового поля при разных типах ветрового воздействия. Использовалась возможность *SWAN* учитывать в параметрической форме наличие тонких преград на пути распространения волн [5].

Вследствие мелководности акватории высоты волн у ОКТ существенно меньше высот, наблюдающихся на южной границе пролива, и слабо зависят от величины скорости ветра. Расчеты показали, что величина разности высот волн не превышает значений 0,1 – 0,3 м для скоростей ветра 15 и 25 м/с и 0,1 – 0,25 м для скоростей ветра 25 и 35 м/с.

При учете волноломов наблюдается формирование теневых зон, расположенных с подветренной стороны берегозащитных сооружений, в которых происходит снижение интенсивности волнения на 50 – 70 %. Само влияние волноломов на поля волнения у восточной оконечности ОКТ носит локальный характер.

Проведем теперь более детальный анализ волновых характеристик в районе восточной оконечности ОКТ для разных градаций скорости ветра при учете берегозащитных сооружений.

$W = 15 \text{ м/с}$. Ветры с такими скоростями встречается достаточно часто в акватории Азово-Черноморского бассейна и носят характер сезонно повторяющихся штормов [6]. Как показали расчеты, при юго-западном ветре волны с максимальными высотами формируются на юге акватории (0,7 – 0,85 м). Вблизи волноломов картина волнения меняется. С наветренной стороны берегозащитных сооружений величины высот изменяются в пределах 0,45 – 0,7 м. В теневых зонах интенсивность волнения минимальна (0,2 – 0,35 м). Направление распространения волнения практически на всей площади акватории совпадает с направлением ветра. На севере от косы наблюдаются незначительные эффекты рефракции. При юго-юго-западном ветре характер волнения в целом идентичен предыдущему случаю. Отличие заключается лишь в направлении волнения, которое незначительно отклоняется на север из-за рефракции, которая особенно отчетливо проявляется в северной части региона, где направление волн меняется с северо-северо-восточного на северное и северо-северо-западное.

Волновые поля для юго-восточного ветра отличаются по своему виду от первых двух случаев. Зона наиболее интенсивного волнения формируется на юго-западе (0,7 – 0,75 м) и северо-востоке акватории (0,6 – 0,65 м). В средней части высоты волн лежат в пределах от 0,5 м на севере до 0,65 м на юге. Минимальные высоты волн характерны для юго-восточной границы и прибрежной зоны (0,25 – 0,6 м). Направление распространения волн отличается от генерального и на юге меняется с северо-западного на северное, а на севере с северо-западного на северной границе региона, на западное у побережья.

$W = 25 \text{ м/с}$. Большой практический интерес представляет исследование штормов, генерируемых ветрами с экстремальными величинами скоростей. Хотя их повторяемость невелика (1 – 2 раза за 50 – 100 лет [6]), именно данные типы штормовых ветров приносят наибольший ущерб окружающей среде (примером может служить шторм 11 октября 2007 г.). На рис.1 показаны поля волнений для $W = 25 \text{ м/с}$.

Как и в предыдущих случаях, наиболее интенсивное волнение соответствует юго-западному ветру, который в юго-западном районе акватории генерирует волны с высотами 1,2 – 1,3 м. На севере волнение наименее интенсивное (0,45 – 0,7 м). Вблизи от волноломов высоты волн изменяются в пределах 0,2 – 1,05 м. На севере от косы в прибрежной зоне преобладающая интенсивность волнения не превышает 0,2 – 0,3 м. Для юго-юго-западного направления ветра картина волнового поля близка к вышеописанному случаю. При юго-восточном ветре на преобладающей части акватории высоты волн не превышают величин 0,9 – 1,1 м. Для всех вариантов характерны незначительные эффекты рефракции волнения в северных направлениях.

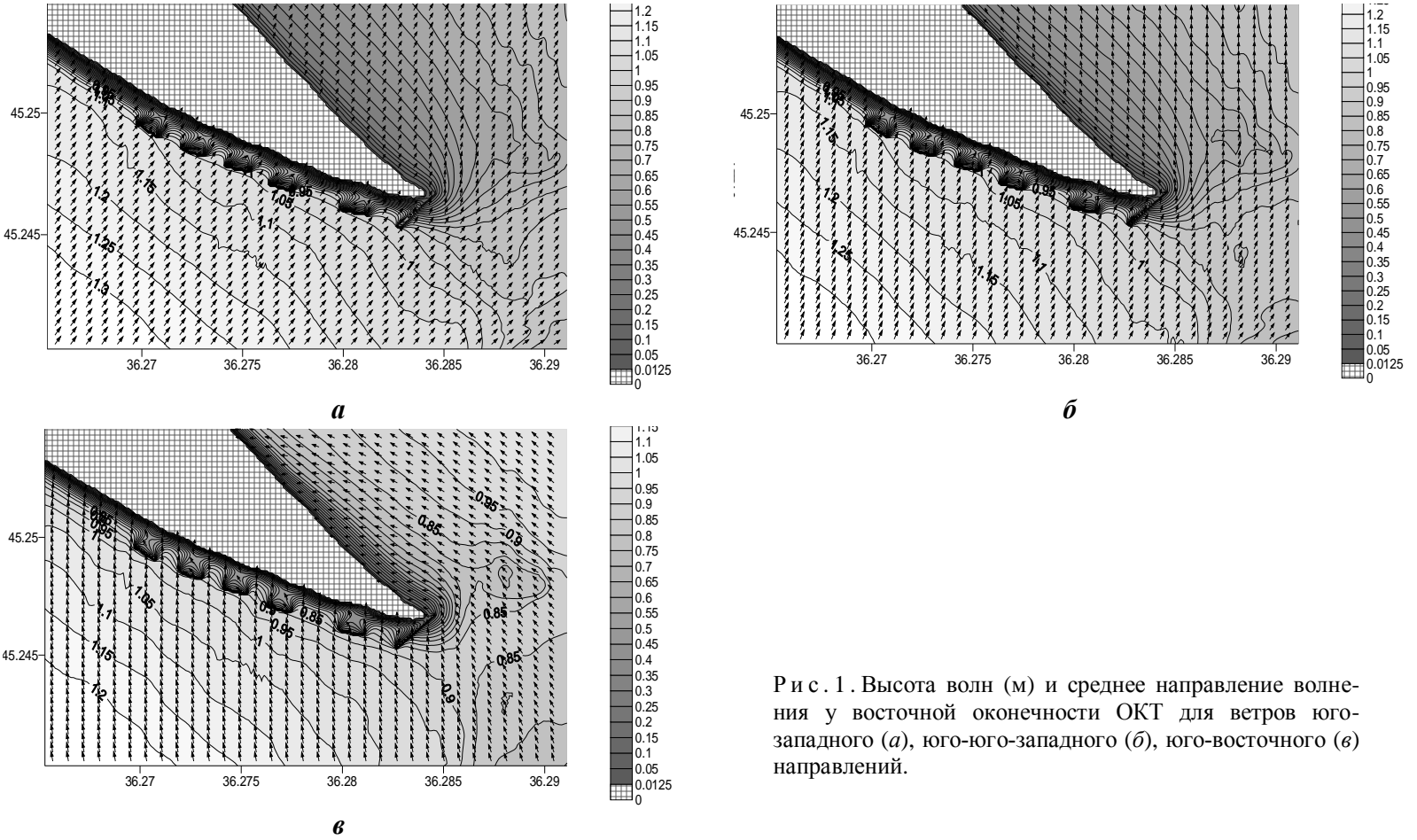


Рис. 1. Высота волн (м) и среднее направление волнения у восточной оконечности ОКТ для ветров юго-западного (а), юго-юго-западного (б), юго-восточного (в) направлений.

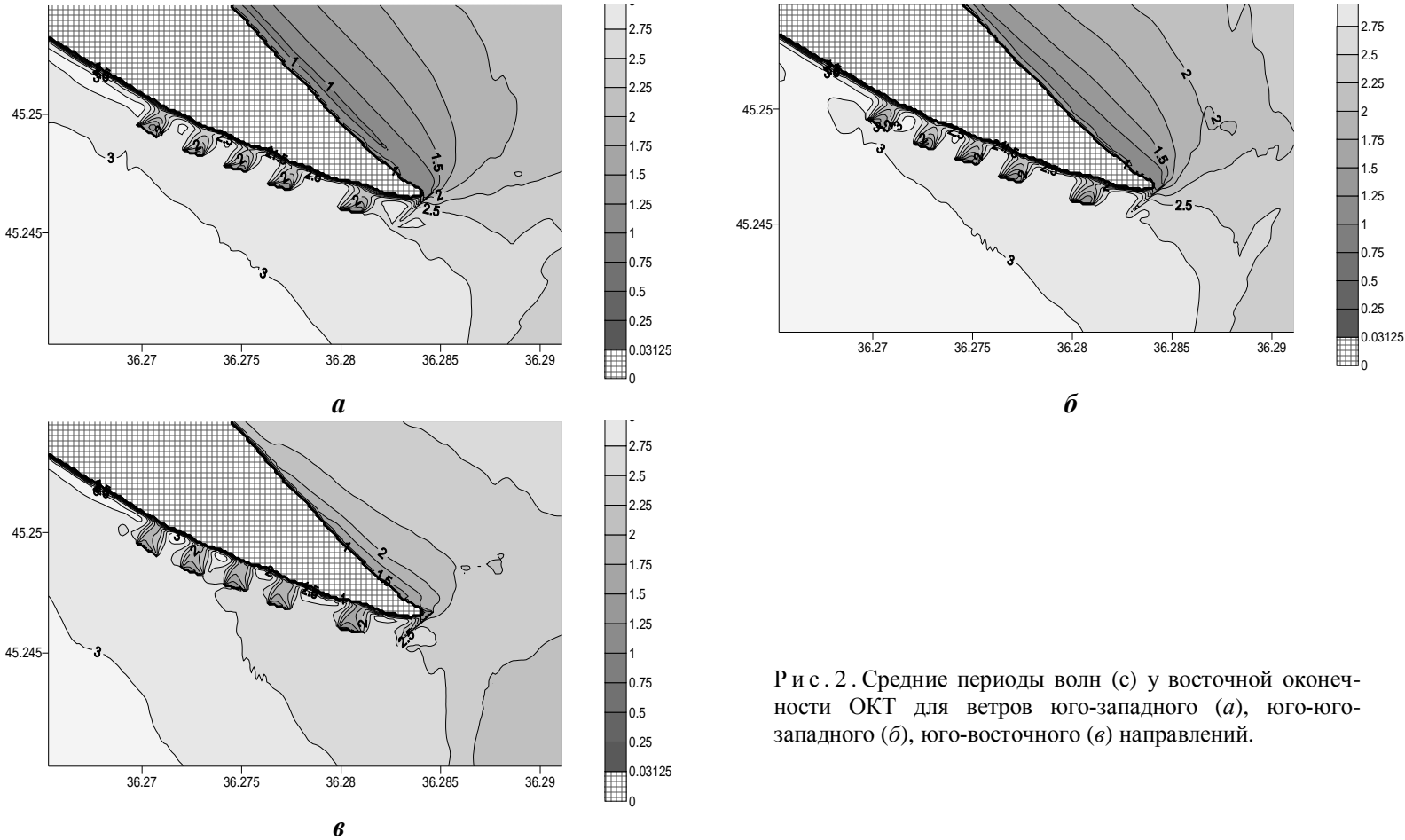


Рис. 2. Средние периоды волн (с) у восточной оконечности ОКТ для ветров юго-западного (*a*), юго-юго-западного (*b*), юго-восточного (*c*) направлений.

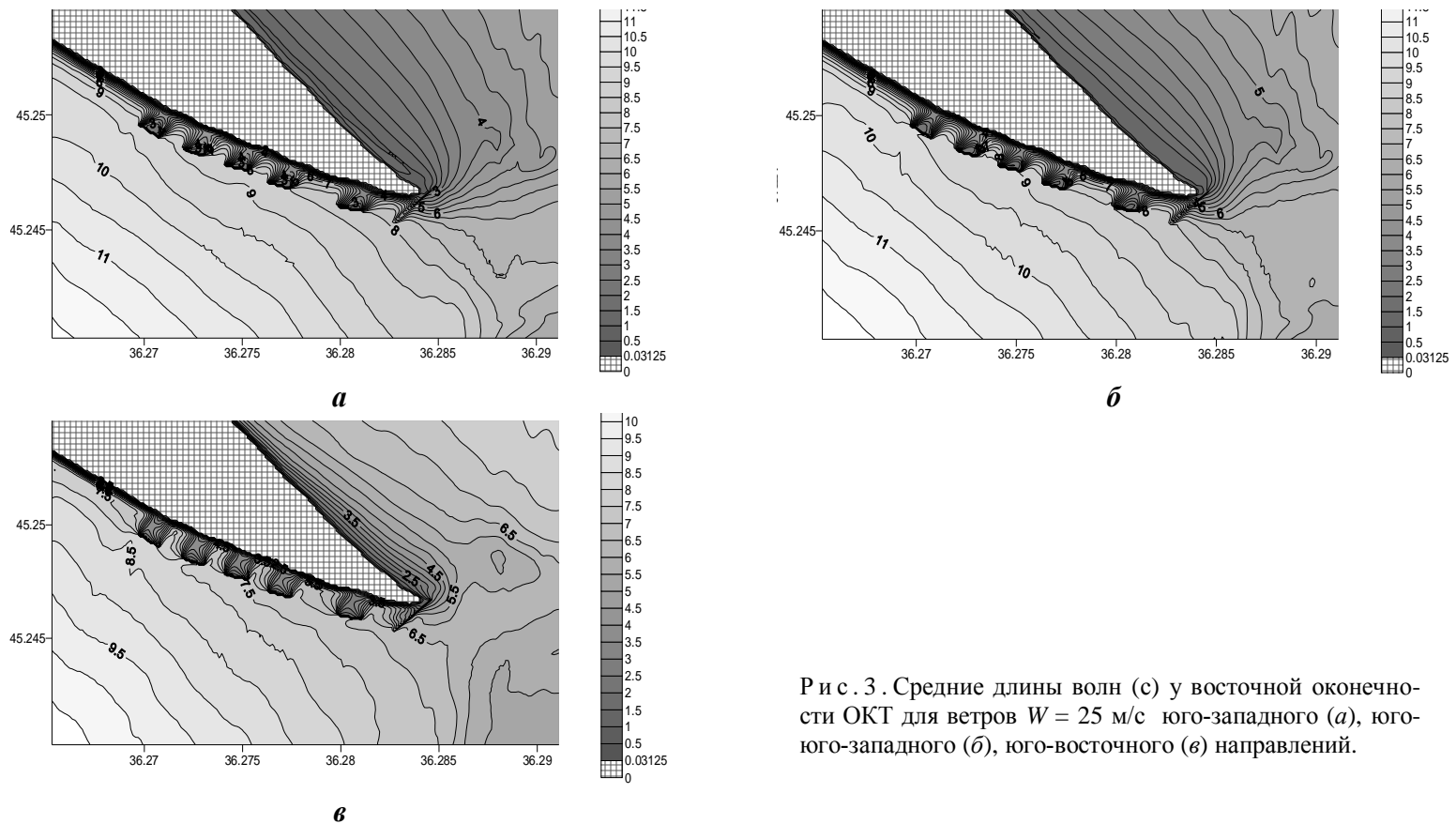


Рис. 3. Средние длины волн (*c*) у восточной оконечности ОКТ для ветров $W = 25 \text{ м/с}$ юго-западного (*a*), юго-юго-западного (*б*), юго-восточного (*в*) направлений.

$W = 35 \text{ м/с}$. Картину волновых полей качественно схожи с вышеописанными. Для ветра юго-западного и юго-юго-западного направлений наиболее интенсивное волнение отмечается на юго-востоке и юге района ОКТ ($1,30 - 1,45 \text{ м}$). На севере высоты волн лежат в пределах $0,5 - 1,25 \text{ м}$. У побережья картина ветрового волнения изменяется и становится двоякой. С наружной стороны волноломов подходящие с юга волны имеют высоты $0,85 - 1,25 \text{ м}$, в зоне тени не превышают величин $0,5 - 0,7 \text{ м}$. У северного и северо-западного побережья косы преобладающие высоты волн составляют $0,3 - 0,5 \text{ м}$. Случай с юго-восточным ветром идентичен вышеописанным вариантам.

Периоды и длины волн. Как показали расчеты для юго-западного ветра, при $W = 15 \text{ м/с}$ преобладающие значения периодов волн изменяются в пределах $2,25 - 2,75 \text{ с}$ на юге и юго-западе акватории. На севере акватории они минимальны: $1,25 - 2 \text{ с}$. В районах теневых зон периоды волн снижаются до величин $1,5 - 1,75 \text{ с}$. При $W = 25 \text{ м/с}$ картина распределения поля периодов волн аналогична предыдущему варианту (рис.2). На юге и в центре их величины не превышают значений $2,5 - 3 \text{ с}$, на севере $1,25 - 2,25 \text{ с}$, с внутренней стороны волноломов $1,4 - 2,15 \text{ с}$. Для $W = 35 \text{ м/с}$ на юге $2,5 - 3,25 \text{ с}$; на севере $1,25 - 2,5 \text{ с}$; в прибрежных акваториях $1 - 2,2 \text{ с}$.

Эксперименты показали (рис.3), что для всех рассматриваемых градаций скорости ветра волны с максимальными длинами генерируются в южной части акватории ($7,5 - 12 \text{ м}$). При подходе к южному побережью косы их величины постепенно снижаются от $6,5 - 9 \text{ м}$ в центре района ОКТ до $5,5 - 8 \text{ м}$ у береговой черты и с внутренней стороны берегозащитных сооружений. Следуя в северо-северо-восточном направлении, волны, огибая косу, поворачивают на север и северо-запад, где их длины становятся минимальными.

Выводы. С использованием метода вложенных сеток выполнено численное моделирование ветрового волнения у восточной оконечности ОКТ для трех градаций скорости ветра ($15; 25$ и 35 м/с) с горизонтальным разрешением 10 м . Анализ результатов моделирования показал, что для данного района наиболее волноопасными являются ветры юго-западного и юго-юго-западного направлений. Характерной чертой формируемых волновых полей является их слабая зависимость от величины скорости штормовых ветров, что связано с мелководностью акватории. Поля высот волн имеют существенную пространственную неоднородность, обусловленную особенностями рельефа дна. Наиболее интенсивное волнение ($0,85 - 1,45 \text{ м}$) развивается в юго-западной части акватории при юго-западном и юго-юго-западном ветрах. При юго-восточном ветре формируются две области интенсификации волнения: на северо-востоке ($0,7 - 1,45 \text{ м}$) и на юго-западе ($0,75 - 1,55 \text{ м}$). Наименее интенсивное волнение формируется на севере акватории ($0,5 - 1,25 \text{ м}$). Также в работе было исследовано влияние берегозащитных сооружений, проектируемых ГП «Государственным проектно-изыскательским институтом морского транспорта» на характеристики генерируемых волновых полей. В частности, было отмечено, что эти сооружения частично меняют картину волнения в акватории, однако их влияние носит локальный характер, который проявляется в формировании вблизи от волноломов тене-

вых зон. В этих зонах высоты волн снижаются в 2 – 2,5 раза. В отношении периодов и длин волн наблюдается следующая закономерность: прослеживается монотонная изменчивость данных характеристик по всей площади исследуемой акватории с формированием зон максимумов в акваториях с наибольшими глубинами и зон минимумов в прибрежных районах. В целом, величины периодов волн не превышают 2,75 – 3,25 с, длин 10 – 12 м.

СПИСОК ЛИТЕРАТУРЫ

1. *Фомин В.В., Иванов В.А.* Численное моделирование ветрового волнения в районе острова Коса Тузла // Экологическая безопасность прибрежной и шельфовой зон и комплексное использование ресурсов шельфа.– Севастополь: ЭКОСИ-Гидрофизика, 2004.– вып.10.– С.233-242.
2. *Фомин В.В., Иванов В.А.* Совместное моделирование течений и поверхностного волнения в Керченском проливе // Морской гидрофизический журнал.–2007.– № 5.– С.3-22.
3. SWAN Cycle III version 40.51. User Manual.– Netherlands: Delft University of Technology, 2006.– 119 p. (<http://swan.ct.tudefl.nl>)
4. *Booij N., Ris R., Holthuijsen L.* A third-generation wave model for coastal regions. Model description and validation // J. Geophys. Res.– 1999.– v.104, № C4.– P.7649-7666.
5. SWAN Technical Documentation SWAN Cycle III. Version 40.51A.– Netherlands: Delft University of Technology, 2007.– 99 p.
6. *Горячkin Ю.Н., Иванов В.А., Репетин Л.Н.* Гидрометеорологические условия Феодосийского залива / Препринт.– Севастополь: ЭКОСИ-Гидрофизика, 2004.– 64 с.

Материал поступил в редакцию 28.11.2008 г.